



БИООРГАНИЧЕСКАЯ ХИМИЯ

том 15 * № 4 * 1989

УДК 577.143.5 : 578.828

УЧАСТКИ ГЕНОМА ЧЕЛОВЕКА, СОДЕРЖАЩИЕ АНАЛОГИ ОНКОГЕНОВ И ГЕНОВ РЕТРОВИРУСОВ

4*. ПЕРВИЧНАЯ СТРУКТУРА *mos*-РОДСТВЕННОГО УЧАСТКА
АО ЛОКУСА ORAgp5

Блисковский В. В., Бердичевский Ф. Б., Чумаков И. М.

Институт молекулярной биологии им. В. А. Энгельгардта
Академии наук СССР, Москва

Определена первичная структура участка АО длиной 844 п. о. клонированного ранее локуса ORAgp5 генома человека. Анализ полученной нуклеотидной последовательности выявил присутствие *mos*-гомологичных участков. Обнаружены также фрагменты, структурно сходные с проретровирусными элементами и участками *Alu*-повторов. Полученные данные прямо подтверждают высказанные ранее гипотезы о роли ретровирусов в образовании генов семейства *mos* и роли *Alu*-последовательностей в инактивации этих генов.

Путем молекулярной гибридизации показана структурная консервативность области локуса ORAgp5 длиной 6 т.п.о., в которую входит исследуемый участок АО, в геномах высших приматов. На основании полученных данных высказано предположение, что *mos*-родственная последовательность участка АО возникла не позднее 65–70 млн. лет назад, а формирование современной структуры АО-фрагмента проходило между 55–60 и 45 млн. лет назад.

Ранее в лаборатории в результате скрининга библиотеки генов человека при помощи пробы, содержавшей онкоген *mos* вируса саркомы мышьей Молони (Mo-MSV), было выделено несколько клонов, имевших гомологию с этим онкогеном [2–4]. Последовательность, содержавшаяся в одном из рекомбинантных бактериофагов, обозначенном гр5, изучена более подробно [3, 4]. В этой последовательности длиной 14 т.п.о. обнаружено несколько участков гомологии с генами *mos* человека (*h-mos*) и мыши (*mi-mos*) (кодирующие части последовательности гена *mos* мыши и вируса саркомы мышьей Молони различаются по 24 нуклеотидам [5]). С этими участками сближены последовательности ДНК, родственные ретровирусным генам *gag* и *pol* и большому концевому повтору ретровирусов типа С [3, 4]. Кроме того, в локусе обнаружено около 10 копий *Alu*-повторов [4]. Перечисленные особенности позволили описать новый тип генетических элементов в ДНК человека, обозначенных ORA (Onc-Retro-Alu) и характеризующихся тесной ассоциацией последовательностей, родственных онкогенам, ретровирусным гепам и *Alu*-повторам [4].

Определена первичная структура некоторых районов локуса, анализ которой подтвердил данные гибридизации о присутствии в ORAgp5 участков, родственных онкогену *mos*, геномам ретровирусов и *Alu*-повторам [1, 6–8]. На основании данных, полученных в результате гибридизационного анализа и компьютерной обработки известных нуклеотидных последовательностей ORAgp5, выдвинуты гипотезы об участии ретровирусов в образовании генов семейства *mos*, а также о роли *Alu*-повторов в инактивации этих генов [1, 4, 6, 8].

Цель настоящей работы заключалась в дальнейшем изучении структуры локуса ORAgp5 человека и использовании полученных данных для проверки выдвинутых гипотез и для определения времени образования входящих в локус последовательностей.

Физическая карта локуса ORAgp5 приведена на рис. 1а. Мы реклонировали и определили нуклеотидную последовательность фрагмента АО,

* Сообщение 3 см. [1]. Обозначения фрагментов локуса ORAgp5 см. рис. 1. Прочие сокращения аналогичны использованным в работе [1].

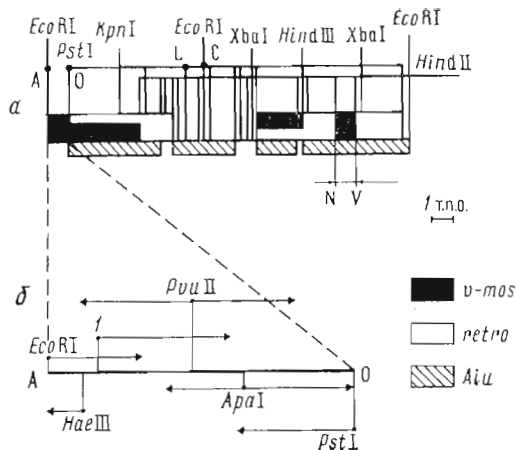


Рис. 1. Рестрикционная карта локуса ORAgp5 [1] с уточнениями (а) и стратегия определения первичной структуры фрагмента АО (б). Показаны участки, гибридизующиеся с пробами, содержащими *v-mos*, гены ретровирусов (*retro*) и *Alu*-последовательности

который, по нашим данным, непосредственно отвечает за гибридизацию фрагмента АС с *mos*-пробой. Стратегия субклонирования и секвенирования фрагмента показана на рис. 1б.

Результаты гибридизации фрагмента АО и двух его субклонов с ^{32}P -меченой *v-mos*-пробой свидетельствуют, что пробы гибридизуются с полным фрагментом АО и с одним из его субклонов *EcoRI*–*PvuII* длиной 410 нуклеотидов (рис. 2).

Полная нуклеотидная последовательность участка АО длиной 844 нуклеотида (рис. 3) определена по двум цепям. В последовательности обнаружено несколько участков, имеющих гомологию с генами *h-mos* и *mu-mos*.

На рис. 4 показаны пять фрагментов АО, гомология которых с генами *mos* составляет не менее 60%. Первый, короткий участок гомологии расположен между 210-м и 240-м нуклеотидами последовательности АО и 753–782-м и 2123–2152-м нуклеотидами соответственно *h-mos* и *mu-mos* (нумерация нуклеотидов соответствует принятой в работе [5]). Гомология АО с *h-mos* составляет 73%, а с *mu-mos* – 84% (гомология между *h-mos* и *mu-mos* на этом участке составляет 84%). Второй участок расположен между 311-м и 396-м нуклеотидами АО и 917–1179-м и 2287–2531-м нуклеотидами *h-mos* и *mu-mos*. На этом участке гомология имеет прерывистый характер и составляет с *h-mos* приблизительно 60% и значительно меньше – с *mu-mos*. Третий участок, расположенный между 444-м и 494-м нуклеотидами АО, имеет гомологию 60% с областью *mu-mos*, расположенной между 2687-м и 2737-м нуклеотидами, но не обнаруживает значимой гомологии с какими-либо участками *h-mos*. Напротив, 4-й и 5-й фрагменты АО, расположенные между нуклеотидами 604–663 и 685–731, обнаруживают гомологию ~60% с участками *h-mos*, находящимися между 1538–1589-м и 1619–1662-м нуклеотидами, но не имеют значимой гомологии с геном *mu-mos*.

Хотя гомология между последовательностью АО и генами *mos* носит прерывистый характер, порядок расположения гомологических районов в АО и генах *mos* одинаков. Вероятно, это указывает на существование в прошлом в исследуемой области целостного гена, подвергавшегося затем изменениям в процессе эволюции.

Интересно присутствие в области АО участков, имеющих высокую степень гомологии как с обоими генами *h-mos* и *mu-mos*, так и только с одним из них. Вероятно, этот факт свидетельствует о возникновении изучаемой области до расхождения генов *h-mos* и *mu-mos*.

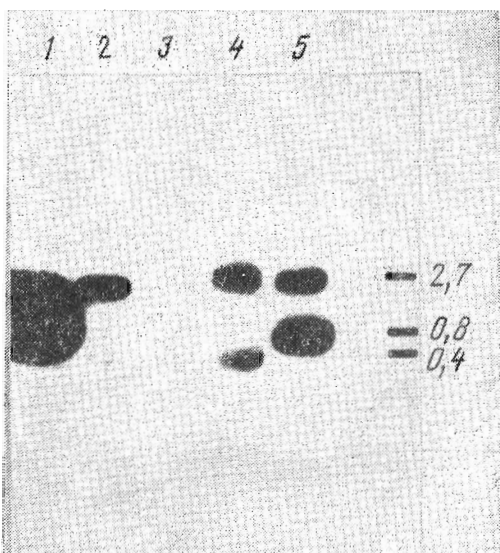


Рис. 2. Гибридизация ^{32}P -меченої *v-mos*-пробы с рекомбинантными плазмидами, содержащими участки фрагмента АО. 1 – контроль: плазмида pGEM-3 Blue, содержащая *v-mos*, гидролизованная *EcoRI* и *PstI*; 2 – плазмида pGEM-3 Blue, содержащая *PvuII-PstI*-фрагмент АО, гидролизованная *EcoRI* и *PstI*; 3 – контроль: ДНК фага λ , гидролизованная *HindIII*; 4 – плазмида pGEM-3 Blue, содержащая *EcoRI-PvuII*-фрагмент АО, гидролизованная *EcoRI* и *PstI*; 5 – плазмида pGEM-3 Blue, содержащая *EcoRI-PstI*-фрагмент АО, гидролизованная *EcoRI* и *PstI*. Справа указаны длины фрагментов (т.п.о.)

```

GAATTTCAGGC TTCTCCCTGC TAACTGGCTC TGAGCCCCGGG CTATGAGCGT GGGACAAAGCT GTCAACACCCCC
CGGGGTCACTC CTGGGGCCAAG GCCATTCTCT GCCTTTGCGG GGTTCGCTCTT TTGGCTTCG TCGAGAAAGGT
GGGGGTGTCT ATATTCGGTA GGCCTAAAC AAAGAACACA CCAGAACAC AGCACAGGSA GATGCCCTTC
CTCTCCTCCCT GGGGCTCAC CGCTTGTCAC AGAGGCCCCA CGCAGTCAGE GGGAGCCACG CCAAGACAG
TCAGACACTC TGGGAGAAAT GTTTTCTCGG ACCAAGAACCC CGAGTCAC CCCAAATCTA TGGGGGTGGG
GGCCTCCCTG ATGCGGAGGA CAGAGGAAGG CGAGGAAGCG TCCCAATCTG CGGCATCCCC AGCTGCCCCA
GGGAGGATGA CCAGGCTATT ATTGTCGGC GCTGCCTCCC CACCACGCTG GAGCTAACTC GGAACTGCTT
CCGGCTCCAG CCCCAGGGAGG CAGACTCAGC AGACTGTCTT GAAGGAGGGA GGTGAGCTGA GGGGCCCCCTT
CCTGCTCTCC CTGTCCTACA CGGAGCTGGG ACAGAACATG TTGTCCTGCT GCGGAGCTGA CGGAGCCCTC
GGGTTCCCTG GGTTTCGCACT CTGGCAGATG GCACITGACAA AAGAGTGGCC GGGACAGGAG GCGGAGGGAC
AGACTTGTAT ATTCAAGCAGC TCACGCTCAT TCTGCCACC GTCAGACCCCT GGGGGTAGTG GAGGAAAGG
GTTCCCTG GA GCCAGGGCTT GTCCCCAGAG AGGGTCATAA TGAGGAACCTG ATGCCACAGG TCTGCCCTCT
GCAG

```

Рис. 3. Нуклеотидная последовательность фрагмента АО

В структуре АО обнаружены также участки, гомологичные последовательностям, комплементарным геному вируса лейкоза мышей Молони (Mo-MuLV) и других ретровирусов млекопитающих. Эти участки находятся между 138–182-м и 249–286-м нуклеотидами АО и ограничиваются с двух сторон первым участком гомологии с генами *mos*. Гомология охватывает часть области U5, участок инвертированных повторов, участок связывания тРНК^{Pro}-затравки и часть нетранслируемой области, т. е. одни из наиболее консервативных последовательностей проретровирусов. Интересно, что в секвенированном ранее участке LC (см. рис. 1а) есть область, гомологичная фрагменту ретровирусного генома, включающему те же структурные элементы [1]. Обнаружение в последовательностях АО и LC участков, гомологичных проретровирусным последовательностям, подтверждает выдвинутую ранее гипотезу [1, 4, 6, 8] об участии ретровирусов в образовании генов семейства *mos*.

В свете этой гипотезы присутствие в двух последовательностях генов *mos*-семейства одних и тех же важных элементов структуры ретровирусных геномов представляется не случайным. Действительно, известно, что ретровирусы, переносящие инородные гены, могут терять большую часть нормальных ретровирусных последовательностей [5]. Тем не менее для встраивания в ДНК хозяина, упаковки и репликации в гепомах дефектных ретровирусов должны сохраняться определенные функциональные участки, в том числе все, обнаруженные в АО и LC. Таким образом, можно предсказать, что и в других локусах генома человека, образованных при участии ретровирусов, значительно чаще будут обнаруживать последовательности, необходимые для встраивания, репликации и упаковки.

LTR	178	GGCAGGGGTCTCCGATCCCGACGAGCCCC-CAAATGAAAGACCCC
133		*** *
AO	138	GGTGGGGGTGTCTATATTCGGTAGGCCTAAACAAA-GAA-GACACC
182		
h-mos	753	CCACTCTTCCTCGGGCCCCCGGGCT-GCCGC 782
		*** *** * * * * * * * * * *
AO	210	CCTCTCCTCCTGGGGCTCCAGGGCTTGTAC 240
		*** * * * * * * * * * * * *
mu-mos	2123	CCACTCCTCCTCGGGCTCCCGGACT-GCCAC 2152
LTR	115	CACTCAG--AGGAG-ACCCTC-CCAAGGAACAGCGAGAC 81
		*** *** * * * * * * * * * * * *
AO	249	CACGCAGTCAGGGGAGCCACGCCAAGGA-CAGTCAGAC 286
h-mos	917	ACCAAGAACCGACT 930 1065 GTGGCAACGTCACTTACA
		***** * *
AO	311	ACCAAGAACCC-CT 322 323 GTGGCAAC-----C-
		***** *
mu-mos	2287	ACCAAGGACC 2296
h-mos		CCAAGTCATCTATGGCG-CCGCCGGCACCCCTGAGGG 1119
		**** * *** * * * * * * * * * *
AO		CCAAA--ATC-ATGGGG-GTGGGGCTCCCTGATGG 364
		*** * *** * * * * * * * * * *
mu-mos	2417	CCATA--ATC-ATGGAGTTGGGGCAA-CGTGA 2446
h-mos	1148	GGAGGACAGTT-AAGTTTGAAAAGTGTCTCAA 1179
		***** * * * * * * * *
AO	365	GGAGGA.CAGAGGAAGGGCAGGAA-GCGTCCCAA 396
		* * * * * * * *
mu-mos		2512 AGTTTGGGAAGTGCCTCAA 2531
AO	444	GTCCGGCGCTGCCCTCCCCACCAACGCTGGAGCTA
		* * * * * * * * * * *
mu-mos	2687	GGCAGGCGTCCCCTACACACATAGGGGCACGT
AO		ATCCGGACCTGCTTCCGG 494
		* * * * * * * *
mu-mos		ACACGCACCAAGCTCCGG 2737
Alu	170	C-CCAGCTACTCGGGAGGCTGAGGCAG-GAGAA
		*** * * * * * * * * * * * *
AO	495	CTCCAGC--CCCAGGAGGCAGAGTCAGCGAGTG
Alu		TCGCTTGAACCCGGGAGGCGGGAGGTTGCAGTG 232
		** * * * * * * * * * * *
AO		TCT-TTGAAGGAGGGAG-GTGAGCT--CAGGG 553
h-mos	1538	TCC-GCTGCCGT-CTT-CG-AGGACTCGC-TCC
		*** * * * * * * * * * *
AO	604	TCCTGCTGCCGAGCTGACGGAAGCCTCGGGTTC
h-mos		CC-GGGCAGCGCCT-TGGG-GACGTCA 1589
		*** * * * * * * * * *
AO		CCTGGGGTTCGCATCTGGCAGATGGCA 663
h-mos	1619	CAG-AGGCCGAGCGCGGG-CTGCTTT-TGGTG
		*** * * * * * * * * *
AO	685	CAGGAGGCGGA-OGGACAGACTTGTATATTAG
h-mos		GATCTCAG-CTCTTT 1662
		* * * * * * * *
AO		CAGCTCACGCTCATT 731

Рис. 4. Первичная структура участка АО, гомологичного генам *mos*, проретровирусный элементам (LTR) и *Alu*-повторам, и ее сравнение с соответствующими последовательностями

ковки геномов дефектных ретровирусов в присутствии вируса-помощника, чем любые другие ретровирусные последовательности.

Существенным подтверждением гипотезы об участии ретровирусов в образовании генов семейства *mos* служит следующий установленный нами факт: гомология АО с генами *mos* начинается точно в той точке гена *mi-mos*, в которой произошла интеграция А-частицы в геном клеток мышиной плазмацитомы XRPC24, вызвавшая активацию гена *mos* [5]. Важно отметить, что гомология LC с геном *mi-mos* также начинается недалеко от места интеграции А-частицы. Характерно, что точка, в которой начинается гомология и АО, и LC с генами *mos*, находится на незначительном расстоянии от последовательностей, гомологичных проретровирусным элементам.

Описанные совпадения вряд ли случайны. Можно предположить, что гены-предшественники обеих областей генома человека имели структуру, аналогичную структуре гена *mi-mos*. В регуляторной области *mi-mos* находятся элементы, препятствующие эффективной транскрипции гена *mi-mos* даже в том случае, когда полный ген ставится под контроль ретровирусных регуляторных элементов [5]. Поэтому внедрение ДНК проретровирусов перед регуляторными участками генов не приводило к трансформации клеток и такие структуры отбором не поддерживались.

В последовательности АО обнаружен также фрагмент *Alu*-повтора, который находится между 495-м и 553-м нуклеотидами. Его присутствие между *mos*-родственными участками согласуется с выдвинутой ранее [8] гипотезой о роли *Alu*-повторов в инактивации генов семейства *mos*, вышедших из-под контроля клеточных регуляторных элементов. Необходимость подобной инактивации следует из возможности несвоевременной и высокоэффективной экспрессии генов *mos* под контролем вирусных регуляторных элементов, в то время как даже незначительные концентрации *mos*-белка оказывают на клетки трансформирующее и токсическое действие [9].

В связи с рассматриваемой гипотезой следует отметить интересную особенность структуры АО, подтверждающую, на наш взгляд, предложенный механизм инактивации. Все *mos*-гомологичные участки АО, за исключением части 3-го фрагмента, находятся внутри двух наиболее протяженных открытых рамок трансляции длиной 270 и 210 нуклеотидов, расположенных соответственно между 202–474-м и 598–808-м нуклеотидами. Эту особенность, по-видимому, нельзя признать случайной, так как указанные открытые рамки включают чуть более половины последовательности АО. (Отметим, что в представленной на рис. 3 цепи имеется лишь еще одна очень короткая открытая рамка протяженностью 60 нуклеотидов, а в комплементарной цепи – три рамки протяженностью ~110 нуклеотидов.) Можно предположить, что эти две рамки представляют собой остатки протяженной открытой рамки разрушенного в процессе эволюции *mos*-гомологичного гена. Более того, поскольку последний *mos*-гомологичный район АО соответствует участку h-*mos*, находящемуся на расстоянии 100 нуклеотидов от 3'-конца гена, возможно, мы имеем дело с последовательностью, содержащей в прошлом большую часть кодирующей области гена *mos*. Интересно также, что вторая рамка заканчивается двумя терминирующими кодонами. Область, гомологичная *Alu*-повтору, находится как раз между двумя наиболее протяженными открытymiрамками. Следовательно, можно предположить, что ген был инактивирован в результате встраивания *Alu*-повтора, а затем при отсутствии давления отбора в *mos*-гомологичной области появился терминирующий кодон. Неясно, какое значение имеет появление терминирующего кодона вблизи фрагмента *Alu*-повтора.

Таким образом, в результате анализа структуры последовательности фрагмента АО нами показано, что фрагмент содержит три вида последовательностей, родственных генам *mos*, проретровирусным последовательностям и участкам *Alu*-повторов, сочетание которых характеризует последовательности типа ORA, и, значит, фрагмент может быть отнесен к этому типу.

По структуре последовательность АО значительно отличается от исследованных ранее последовательностей NV и LC локуса ORAgp5 [1, 6, 8]. Последовательность NV включает три протяженных *mos*-гомологичных участка, разделенных двумя полными *Alu*-повторами, по первичной структуре близкими к консенсусу [8]. Фрагмент LC содержит протяженный участок гомологии с генами *mos* и предшествующую ему последовательность, гомологичную ретровирусным геномам [1, 6]. Участок АО содержит все три типа последовательностей, причем в крайне фрагментированной форме. Подобная мозаичная структура сильно затрудняет как компьютерный анализ последовательности, так и выяснение путей и механизмов ее возникновения. Если фрагмент NV представляет собой, вероятно, *mos*-родственный ген, инактивированный в результате встраивания двух *Alu*-повторов [8], а LC по структуре сильно напоминает участок саркомоподобного ретровируса [1, 6] и механизм их возникновения относительно понятен, то возникновение структуры АО пока не удается представить как результат действия более или менее простых механизмов. Возможно, что на формирование АО-фрагмента повлияло присутствие в нем последовательностей всех трех видов, что создавало возможность для широкого спектра рекомбинационных событий. Однако присутствие даже трех разных видов последовательностей вряд ли могло само по себе вызвать столь значительное повышение уровня гомологичной рекомбинации, необходимое для образования подобной структуры.

Отсутствие в последовательности протяженных открытых рамок трансляции и сигналов сплайсинга между короткими открытыми рамками, вероятно, указывает на существование в области АО псевдогена. С этим предположением согласуется предложенный механизм [6, 8] инактивации генов при помощи внедрения *Alu*-повторов. Однако предположение о присутствии в данной области псевдогена противоречит полученным нами данным о консервации фрагмента АО в геномах высших приматов.

Проведена гибридизация проб, представляющих собой клонированные фрагменты локуса ORAgp5, с ДНК приматов. Обнаружено, что проба, содержащая часть фрагмента LC (LC-3, см. работу [6]), гибридизовалась с *EcoRI*-фрагментами ДНК всех исследованных высших приматов, равными по величине фрагменту АС (~6 т.п.о.) (рис. 5б). Наиболее вероятным объяснением данного результата может служить консервативность всего *EcoRI*-фрагмента АС в геномах высших приматов. Для подтверждения этого предположения необходимо показать, что проба, содержащая другой концевой фрагмент области АС, гибридизуется с *EcoRI*-фрагментами ДНК высших приматов той же длины, что и проба LC. Мы провели гибридизацию ДНК высших приматов с меченой АО-пробой. Как и предполагалось, проба гибридизовалась с *EcoRI*-фрагментами ДНК, равными по величине фрагменту АС (рис. 5а).

Таким образом, результаты гибридизационного анализа с большой вероятностью указывают на консервативность фрагмента АС в геномах высших приматов. В то же время мы не имеем информации о различиях в структуре центральных областей фрагментов, а также об относительно небольших различиях в их длинах, которые мы не могли обнаружить в результате проведенных опытов.

Молекулярной гибридизацией с ДНК приматов нами определен временной интервал, в котором последовательность АО могла сформироваться в том виде, в котором она присутствует в данный момент в геномах высших приматов.

Верхней границей этого интервала стало время расхождения двух эволюционно наиболее удаленных друг от друга групп из числа представленных в эксперименте – широконосых обезьян (*Platyrrhini*), представителем которых является ночная обезьяна, и узконосых обезьян (*Catarrhini*), к которым относятся все остальные использованные виды. Это расхождение произошло около 45 млн. лет назад [10, 11].

Нижней границей стало время расхождения протолемуридов (предков современных тупай и лемуров) и прототарзиодов (предков долгони-

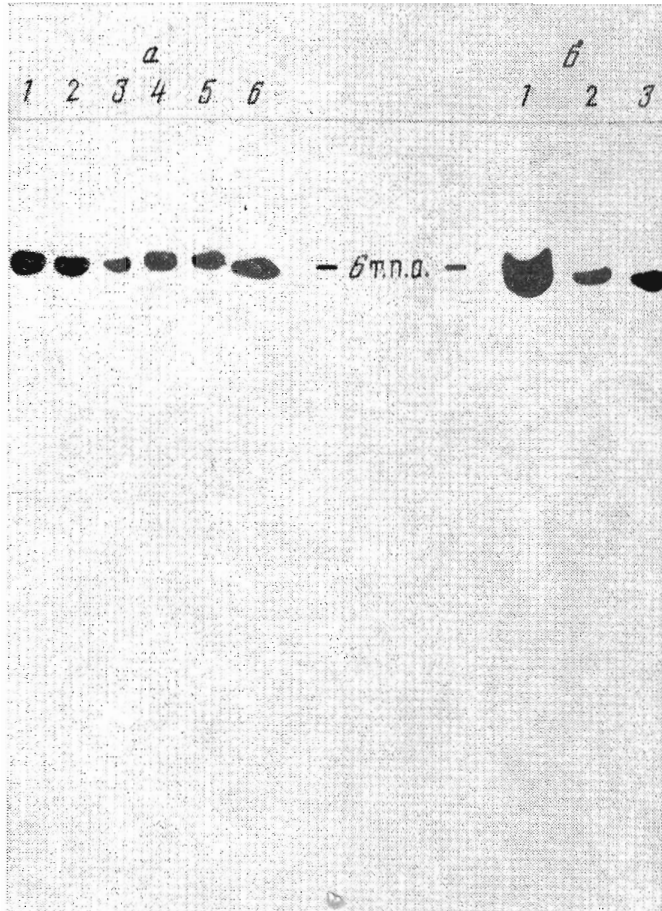


Рис. 5. Гибридизация ^{32}P -меченой пробы АО (а) и LC (б) с ДНК высших приматов, гидролизованной *EcoRI*. а: 1 – контроль (10 пг фрагмента АС); 2 – человек (*Homo sapiens*); 3 – мангобей (род *Cercopithecus*); 4 – зеленая мартышка (род *Cercopithecus*); 5 – ночная обезьяна (род *Aotus*); 6 – макак-резус (род *Macaca*); б: 1 – человек; 2 – мангобей; 3 – ночная обезьяна

тов и обезьян), так как нами показано отсутствие характерного фрагмента длиной 6 т.п.о. при гибридизации пробы АО с ДНК тупайи. Это расхождение произошло 55–60 млн. лет назад [10, 11].

Если верны наши предположения относительно образования *mos*-гомологичной последовательности фрагмента АО до расхождения генов *mos* мыши и человека, то верхней границей времени образования этой последовательности будет период 65–70 млн. лет назад. Значит, время формирования современной последовательности АО из гена-предшественника могло составлять 10–45 млн. лет.

Таким образом, в результате определения первичной структуры фрагмента ДНК человека показано существование в геноме еще одной *mos*-гомологичной последовательности. Получены оценки времени ее возникновения и временной интервал, в который она оформилась в структуру, присутствующую в данный момент в геномах высших приматов. Структура последовательности согласуется с выдвинутыми ранее гипотезами относительно возможной роли ретровирусов в образовании некоторых семейств протоонкогенов и роли подвижных генетических элементов в инактивации областей, гомологичных протоонкогенам.

Экспериментальная часть

Реклонирование проводили в векторы M13mp18 и M13mp19 [12] и плазмиде pGEM-3 Blue (Promega Biotec; последовательность рестрикционных сайтов в полилинкере аналогична таковой mp18).

Определение первичной структуры проводили по модифицированному методу Сенгера [13] как описано в работе [1]. Перенос на нитроцеллюлозные фильтры осуществлялся как описано ранее [2–4]. Гибридизацию фрагментов АО с v-mos-пробой проводили в «нестрогих» условиях, как указано в работе [6], гибридизацию АО с ДНК приматов – в «строгих» условиях [6]. Приготовление меченых проб осуществлялось методом ник-трансляции по стандартной методике [14].

Поиск гомологии проводили по программе, составленной А. Н. Мироновым (ВНИИгенетика Минимедбиопрома СССР).

Авторы искренне благодарят Л. Л. Киселева за внимание и ценные замечания, А. Н. Миронова за помощь в машинной обработке данных и И. И. Сустерович за помощь в работе.

СПИСОК ЛИТЕРАТУРЫ

1. Забаровский Е. Р., Прасолов В. С., Третьяков Л. О., Чумаков И. М., Киселев Л. Л. // Биоорган. химия. 1985. Т. 11. № 3. С. 380–390.
2. Chumakov I. M., Zabarovsky E. R., Prassolov V. S., Mett V. L., Kisselev L. L. // Gene. 1982. V. 17. № 1. P. 19–26.
3. Zabarovsky E. R., Chumakov I. M., Kisselev L. L. // Gene. 1983. V. 23. № 3. P. 279–384.
4. Забаровский Е. Р., Чумаков И. М., Прасолов В. С., Киселев Л. Л. // Молекуляр. биология. 1984. Т. 18. № 1. С. 60–82.
5. RNA tumor viruses/Eds Weiss R., Teick N., Varmus H., Coffin J.: Cold Spring Harbor Laboratory, 1985.
6. Чумаков И. М., Забаровский Е. Р., Прасолов В. С., Метт В. Л., Киселев Л. Л. // Молекуляр. биология. 1985. Т. 19. № 2. С. 425–432.
7. Забаровский Е. Р., Чумаков И. М., Прасолов В. С., Киселев Л. Л. // Докл. АН СССР. 1980. Т. 255. № 5. С. 1275–1277.
8. Zabarovsky E. R., Chumakov I. M., Prassolov V. S., Kisselev L. L. // Gene. 1984. V. 30. № 1–3. P. 107–111.
9. Papkoff J., Ringold G. M. // J. Virol. 1984. V. 52. № 2. P. 420–430.
10. Britter R. J. // Science. 1986. V. 231. № 4744. P. 1393–1398.
11. Соколов В. Е. Систематика млекопитающих. М.: Высш. школа, 1979.
12. Janisch-Perron C., Vieira J., Messing J. // Gene. 1985. V. 33. № 1. P. 103–119.
13. Sanger F., Coulson A. R., Barrell B. R., Smith A. J. M., Roe B. // J. Mol. Biol. 1980. V. 143. № 2. P. 161–178.
14. Маниагис Т., Фрич Э., Сэмбрук Дж. Молекулярное клонирование. М.: Мир, 1984.

Поступила в редакцию
19.VII.1988

HUMAN GENOME REGIONS CONTAINING ONCOGENE ANALOGUES AND RETROVIRAL GENE SEQUENCES.

4. PRIMARY STRUCTURE OF mos-RELATED REGION AO OF ORAgp5 LOCUS

BLISKOVSKY V. V., BERDICHEVSKY F. B., CHUMAKOV I. M.

V. A. Engelhardt Institute of Molecular Biology,
Academy of Sciences of the USSR, Moscow

AO region (884 b.p.) of ORAgp5 locus has been sequenced and proved to contain mos-related regions, as well as fragments structurally similar to proretroviral elements and *Alu* repeats. The data obtained are in accordance with earlier hypotheses on retroviral involvement in mos gene family generation and the role of *Alu* repeat insertion in the inactivation of mos-related genes. Molecular hybridisation studies showed the structural conservation of the segment in ORAgp5 locus comprising the AO region among higher primates. These data indicate that AO region of ORAgp5 was formed not later than 65–70 MYR ago and that the present structure of this region was kept during last 50 MYR.